Zusammenfassung: L1

$$G = (A, \bullet)$$

$$G = (A, \bullet)$$
 Verknüpfung: $\bullet : A \times A \longrightarrow A$, $(a, b) \longmapsto a \bullet$

$$(a,b) \mapsto a \cdot b$$

(i) Abgeschlossenheit, (ii) Assoziativität, (iii) neutrales Element, (iv) inverses Element

 $F = (A, +, \bullet)$ (zwei Verknüpfungsregeln: Addition & Multiplikation, beide liefern jeweils eine kommutative Gruppe) Körper:

Algebraische Struktur, die Addition, Subtraktion, Multiplikation und Division erlaubt.

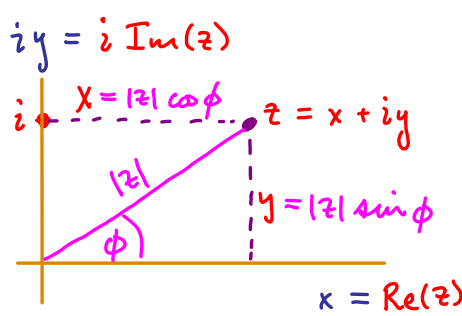
Beispiele:

Komplexe Zahlen: $C = \{z = x + iy \mid x, y \in \mathbb{R} \} \longrightarrow \mathbb{R}^2 = \{(x,y) \mid x, y \in \mathbb{R} \}$

$$z + z' = (x + x') + i(y + y')$$

$$z \cdot z' = (xx' - yy') + i(xy' + x'y)$$

$$z^* = \overline{z} = x - iy, \quad z\overline{z} = x^2 + y^2 = |z|^2$$



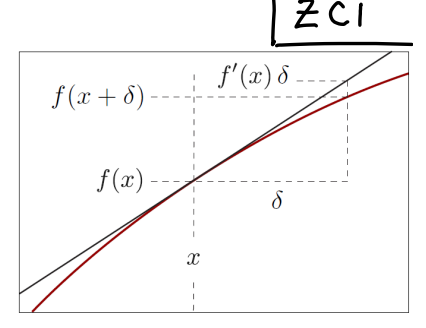
Zusammenfassung: C1-C2

C1: Ableitung 1-dimensionaler Funktionen

Definition d. Ableitung:

$$\frac{df(x)}{dx} \equiv f(x) \equiv \lim_{\delta > 0} \frac{f(x+\delta) - f(x)}{\delta}$$

Jede Ableitung stellt eine lokale Näherungen einer Funktion durch eine lineare Funktion dar!



$$f(x+g) \approx f(x) + g \frac{g(x)}{g(x)}$$
 (5)

Produktregel:

$$\frac{d(fg)}{dx} = \frac{d(f(x))}{dx}g(x) + f(x)\frac{d(g(x))}{dx}$$
 (3)

Kettenregel:

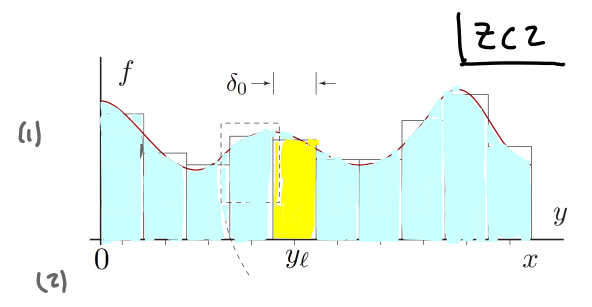
$$\frac{d(f(g(x)))}{dx} = \frac{df(y)}{dy}\Big|_{y=g(x)} \frac{dg(x)}{dx}$$
 (4)

Ableitung d. Umkehrfunktion:

$$\frac{df^{-1}(x)}{dx} = \frac{\frac{df(y)}{dy} \Big|_{y=f^{-1}(x)}}{(s)}$$

C2 Integrale

'Riemann-Summe' =
$$\lim_{\delta \to 0} \frac{N(\delta)}{\delta}$$



Fläche

$$F(x) = \lim_{\delta \to 0} \sum_{\ell} f_{\ell} = \int_{0}^{x} dy f(y)$$

'Hauptsatz':
$$F(x) = \int_0^x dy \, f(y) \implies \frac{dF(x)}{dx} = f(x)$$
 (3)

Bestimmtes
Integral:
$$\int_{a}^{b} dy f(y) = F(b) - F(a) = F(y) \Big|_{a}^{b}$$
(4)

'Partielle Integration'
$$\int_{a}^{b} x \, u(x) \, v(x) = u(x) \, v(x) \Big|_{a}^{b} - \int_{a}^{b} u'(x) \, v(x)$$
 (5)

'Variablen-
Substitution':
$$\int_{a}^{b} \frac{dy(x)}{dx} f(y(x)) = \int_{a}^{y(b)} \frac{dy}{dy} f(y), \quad dy = dx y'(x), \quad x \mapsto y(x) \\ b \mapsto y(b)$$

Zusammenfassung: L2 Vektorräume

Vorlesung 3 | ZLZa

F-Vektorraum: (V, +, •)

Vektoraddition:
$$+: (\lor, \lor) \longrightarrow \lor$$

 $(\vec{a}, \vec{b}) \longmapsto \overline{a} + \overline{b}$

Skalare

Multiplikation:

$$(\lambda, \vec{a}) \mapsto \lambda \cdot \vec{a} = (\lambda \vec{a})$$

$$(vi,vii) \text{ distributiv}$$

$$(viii) \text{ assoziativ}$$

$$(ix) \text{ Identitätsele}$$

Wichtigstes Beispiel: R"

$$\mathbb{R}^{N} = \left\{ \overline{a} = (a^{1}, \dots, a^{N})^{T} \mid a^{1}, \dots, a^{N} \in \mathbb{R} \right\}$$

Vektoraddition:
$$+: \mathbb{R}^{3} \times \mathbb{R}^{3} \longrightarrow \mathbb{R}^{3}$$
, $(\bar{a}, \bar{b}) \mapsto (\bar{a} + \bar{b}) = \begin{bmatrix} a' + b' \\ \vdots \\ a'' + b'' \end{bmatrix}$

Skalare

Multiplikation:
$$\cdot : \mathbb{R} \times \mathbb{R}^n \longrightarrow \mathbb{R}^n$$
 $(\lambda, \overline{b}) \mapsto (\lambda \overline{b}) \equiv \begin{pmatrix} \lambda \overline{b} \\ \vdots \\ \lambda \overline{b}^n \end{pmatrix}$

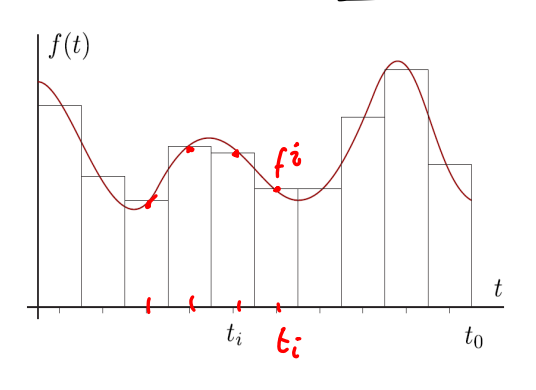
Weiteres Beispiel: Diskretisierte Funktionen:

Diskretisierte Funktion: $\vec{f} = (f', ..., f'')^T$

Vektoraddition:
$$(\vec{f} + \vec{g})^i = (\vec{f})^i + (\vec{g})^i$$

Skalarmultiplikation:
$$(a \cdot \overline{f})^i = a(\overline{f})^i$$

Vektorraum:
$$(\{\vec{f} \mid (\vec{f})^i \in \mathbb{R}, i=1,...,N\}, +, \bullet)$$



ZLZC

(5)

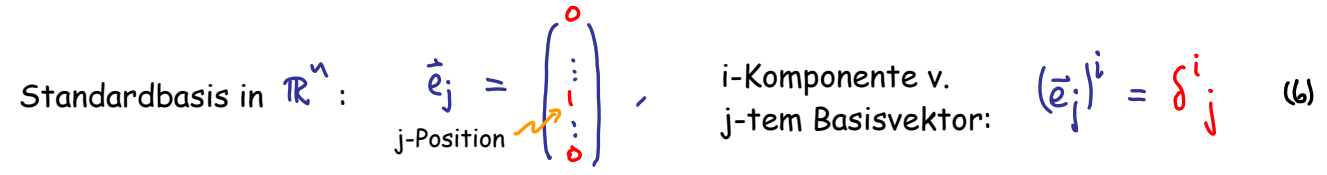
Basis und Dimension

 $Span(S) \equiv alle möglichen Linearkombination der Vektoren <math>\{\vec{v}_i\}$ (2)

'Linear unabhängig', falls $\vec{v}_j a^j = \vec{o} \implies \vec{a^j} = \vec{o} \quad \forall j$



S bildet 'Basis', falls S vollständig und linear unabhängig ist.



'Kronecker-
$$\delta_{i}^{i} \equiv \begin{cases} 1 & \text{falls} & i = j \\ 0 & \text{falls} & i \neq j \end{cases}$$

Where $\delta_{i}^{i} \equiv \begin{cases} 1 & \text{falls} & i = j \\ 0 & \text{falls} & i \neq j \end{cases}$

Where $\delta_{i}^{i} \equiv \begin{cases} 1 & \text{falls} & i = j \\ 0 & \text{falls} & i \neq j \end{cases}$

Zusammenfassung L3

ZLZa

Euklidische Vektorräume

(V: reeller Vektorraum)

Inneres Produkt:

$$\langle , \rangle : \bigvee \times \bigvee \longrightarrow \mathbb{R},$$

$$\langle , \rangle : \bigvee \times \bigvee \longrightarrow \mathbb{R}, \quad (\vec{u}, \vec{v}) \longmapsto \langle \vec{u}, \vec{v} \rangle \stackrel{\sim}{\sim} Zahl$$

(i) Symmetrie, (ii-iii) Linearität bzgl.+

(iv) Positiv definit

Wichtigstes Beispiel: Skalarprodukt in \mathbb{R}^{n}

• :
$$\mathbb{R}^{n} \times \mathbb{R}^{n} \longrightarrow \mathbb{R}$$

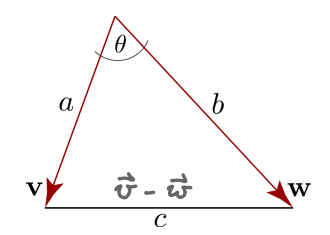
• :
$$\mathbb{R}^{\gamma} \times \mathbb{R}^{\gamma} \longrightarrow \mathbb{R}$$
, $\vec{u} \cdot \vec{v} = u'v'_{+}... + u''v'' = u^{i}v^{i}$

Norm:

Cauchy-Schwarz Ungleichung (CSU):

Winkel:

$$\langle \vec{v}, \vec{\omega} \rangle \equiv \omega(\lambda(\vec{v}, \vec{\omega})) \| \vec{v} \| \| \vec{\omega} \|$$



Einheitsvektor:

$$\hat{\omega} = \frac{\vec{w}}{\|\vec{w}\|}$$

auf
$$\vec{w}$$

'Projektion' v.
$$\vec{v}$$
 auf \vec{w} : $\vec{v}_{\parallel} \equiv \hat{v} \langle \hat{w}, \vec{v} \rangle$ ($\parallel \vec{w} \rangle$

'Orthogonales Komplement' zu $\vec{w}: \vec{v}_{\perp} \equiv \vec{v} - \hat{w} \langle \hat{v}, \hat{v} \rangle \quad (\perp \vec{w})$

$$-\hat{\mathbf{w}}\langle\hat{\mathbf{w}},\hat{\mathbf{v}}\rangle$$



Orthonormalbasis: vollständig, normiert, orthogonal:

$$\{\vec{e}'_1, \dots, \vec{e}'_n\}$$
 $\langle \vec{e}'_i, \vec{e}'_i \rangle = \delta_{i\bar{i}}$

Zerlegung nach Komponenten in Orthonormalbasis: $\vec{x} = \vec{e} \cdot \vec{x}$, $\vec{x} = (\vec{e}_i, \vec{x})$

$$\dot{x} = \dot{e}_i x^i$$

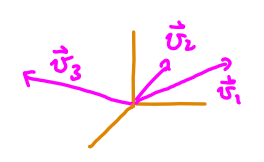
$$x^i = \langle \hat{e}_i, \hat{x} \rangle$$

Gram-Schmidt-Verfahren:

liefert orthonormale Vektoren mit demselben Span:

$$\vec{\nabla}_{i,\perp} = \vec{\nabla}_{i}$$

$$\vec{v}_{j,\perp} \equiv \vec{v}_{i} - \sum_{i=1}^{j-1} \vec{e}'_{i} \langle \vec{e}'_{i}, \vec{v}_{j} \rangle_{V}, \quad \vec{e}'_{j} \equiv \frac{\vec{v}_{j\perp}}{\|\vec{v}_{j\perp}\|}$$





Kovariante Notation für nicht-orthonormale Basis

Index oben: kontravariant Index unten: kovariant

Metrik einer Basis $\{\hat{v}_i\}$ von V: $\langle \vec{v}_i, \vec{v}_j \rangle = 9$. Inverse Metrik erfüllt

gikgRi = 8'j

Kontravar. Basis: $\hat{v}^{i} \equiv q^{ij} \hat{v}_{i}$ ist orthonormal zur kovar. Basis:

$$\langle \hat{v}_i^i \hat{v}_j^i \rangle = \delta^i$$

Zerlegung nach Komponenten: $\hat{x} = \hat{v}_i \times \hat{v} = \hat{v}_i \times \hat{v}$

$$\begin{array}{rcl}
x &=& \mathcal{C}_{i} \times \hat{\mathcal{C}} &=& \mathcal{C}_{i} \left\langle \mathcal{C}_{i}, x \right\rangle_{V} \\
&=& x_{i} \hat{\mathcal{C}}_{i} &=& \left\langle \hat{x}_{i}, \hat{\mathcal{C}}_{i} \right\rangle_{V} \hat{\mathcal{C}}_{i}
\end{array}$$

kovariante Basis kontravariante Komponenten kontravariante Basis kovariante Komponenten

$$\hat{\sigma}_{j} = g_{ji} \hat{\sigma}^{i} = \hat{\sigma}^{i} g_{ij},$$

$$\hat{\sigma}_{j} = g_{ji} \hat{\sigma}^{i} = \hat{\sigma}^{i} g_{ij} , \qquad x_{i} = g_{ij} x^{j} = x^{j} g_{ji} ,$$

$$\hat{\sigma}^{i} = g^{ij} \hat{\sigma}_{j} = \hat{\sigma}_{j} g^{ji} , \qquad x^{j} = g^{ji} x_{i} = x_{i} g^{ij} ,$$

$$xj = g^{ji} x_i = x_i g^{ij}$$

qij zieht Index hoch

Inneres Produkt in V:

Verallgemeinertes Skalarprodukt in 🥂

$$\langle \hat{x}, \hat{y} \rangle_{v} = x^{i}g_{ij} y_{i} = x^{i}g_{i} = x_{j}y_{j} = \langle \hat{x}, \hat{y} \rangle_{e^{n}}$$

Für Orthonormalbasis, mit $3i = \delta i$, ist Unterscheidung zwischen Index oben/unten nicht nötig:

$$x_i = \delta_{ij} x^j = x^i$$

$$g^{ij} = \delta^{ij}$$

$$g^{ij} = \delta^{ij} , \qquad \hat{\sigma}^{i} = \delta^{ij} \hat{\sigma}_{j} = \hat{\sigma}_{i}$$

Deswegen: wenn möglich eine Orthonormalbasis wählen!

Zusammenfassung: L4 Vektorprodukt

$$(\vec{v}, \vec{\omega}) \longmapsto \vec{u} = \vec{v} \times \vec{\omega} \equiv$$

$$\begin{bmatrix} v^2 v^3 & -v^3 v^2 \\ v^3 w^4 & -v^4 v^3 \\ v^2 w^4 & -v^2 w^4 \end{bmatrix} \equiv \begin{bmatrix} v^4 \\ v^2 \\ u^3 \end{bmatrix}$$

Geometrische Def:

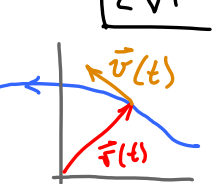
$$\vec{v} \perp \vec{v} \times \vec{\omega} \perp \vec{\omega}$$

$$||\vec{v} \times \vec{\omega}|| = ||\vec{v}|| ||\vec{\omega}|| \sin \theta$$

Eigenschaften: antisymmetrisch, distributiv, nicht assoziativ, Identitäten...

 $|(\bar{u} \times \bar{v}) \cdot \bar{\omega}| = \text{Volumen v. Parallelepiped}$ Spatprodukt:

Zusammenfassung V1: Kurven



Ort entlang Kurve:

$$\vec{\tau}(t) = \vec{e}_i \times i(t)$$

$$\frac{1}{\sqrt{1}}$$

$$\vec{\tau}(t) = \frac{d\vec{\tau}(t)}{dt} = \vec{e}_i \times \vec{l}(t) = \vec{v}(t)$$
 liegt 'tangential' zur Kurve

$$L[\gamma] = \int_{0}^{\tau} dt \| \dot{\vec{\tau}}(t) \|$$

Bogenlänge nach Zeit t:

$$S(t) = \int_{0}^{t} du \| du \overrightarrow{r}(u) \|$$

ZC3

Natürliche Parametrisierung durch Bogenlänge:

$$\vec{\tau}_{L}: (o, L(\chi)) \rightarrow \mathbb{R}^{d}, \quad s \mapsto \vec{\tau}_{L}(s) \equiv \vec{\tau}(t(s)), \quad \|d_{s}\vec{\tau}_{L}(s)\| = 1$$

Für Vektorfeld:

$$\vec{f}: \mathcal{X} \to \mathbb{R}^d, \vec{\tau} \mapsto \vec{f}(\vec{\tau})$$

$$\int_{\mathcal{X}} d\vec{r} \cdot \vec{f} = \int_{0}^{\tau} dt \vec{r} \cdot \vec{f} \quad \text{unabhängig von Parametrisierung des Weges}$$

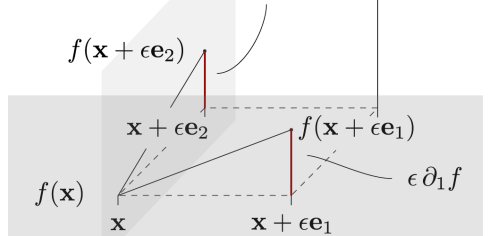
Zusammenfassung C3: Partielle Ableitungen

Partielle Ableitung: $f: \mathbb{R}^d \to \mathbb{R}$

$$f: \mathbb{R}^d \to \mathbb{R}$$

$$\frac{\partial f(\vec{x})}{\partial x^{i}} = \lim_{\delta \to 0} \frac{1}{\delta} \left[f(\vec{x} + \delta \vec{e_i}) - f(\vec{x}) \right]$$

$$\equiv \beta_{xi} f(\vec{x}) \equiv \beta_i f(\vec{x})$$

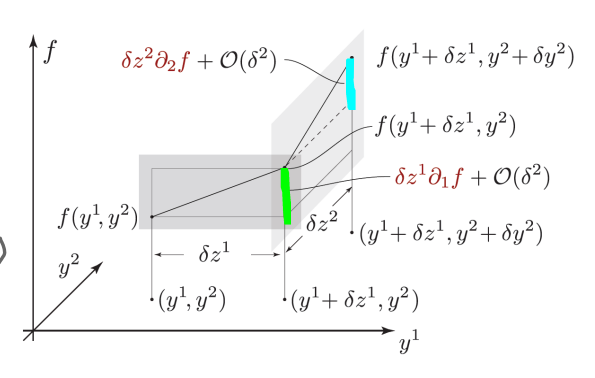


 $\epsilon \partial_2 f$

Satz v. Schwarz:
$$\partial_i \partial_i f = \partial_i \partial_i f$$

$$f: \mathbb{R}^{d} \to \mathbb{R}, \quad \vec{g} \mapsto f(\vec{g})$$

$$\lim_{\vec{g}} \left[f(\vec{g} + \vec{g}) - f(\vec{g}) \right] = \partial_{\vec{g}} f(\vec{g}) \vec{e}^{\vec{g}}$$



g: Rn Rd, f: Rd RM, Fog: Rn RM

$$\frac{\partial f^{i}(\vec{q}(\vec{x}))}{\partial x^{k}} = \sum_{i=1}^{d} \frac{\partial f^{i}(\vec{q}(\vec{x}))}{\partial q^{i}} \frac{\partial q^{i}(\vec{x})}{\partial x^{k}}$$

$$i = 1, ..., m$$
 $k = 1, ..., n$
(5)

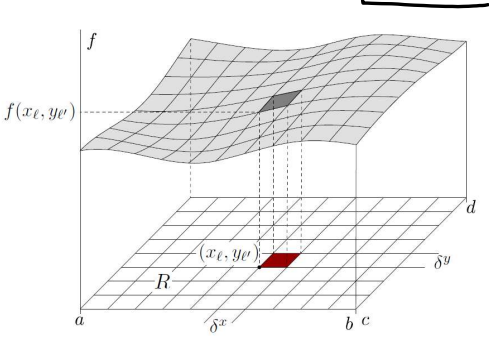
Allgemeine Kettenregel:

Zusammenfassung: C4 Mehrdimensionale Integration (Kartesisch)

ZC4a

Integration in **K**

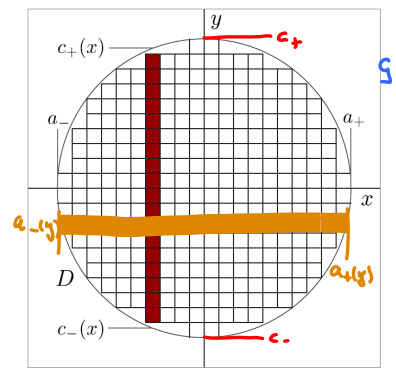
$$\int_{\alpha}^{b} dx \int_{c}^{d} dy f(x,y) = \lim_{S^{*}, S^{*} \to 0} \int_{c}^{x} S^{*} \sum_{\ell} \sum_{\ell'} f(x_{\ell}, y_{\ell'})$$



Fubini: Integrationsreihenfolge ist egal:

$$\int_{a}^{b} \int_{y_{-}(x)}^{y_{+}(x)} f(x,y) = \int_{y_{a}}^{y_{b}} \int_{x_{-}(y)}^{x_{+}(y)} f(x,y)$$

Für das "innere" (zweite) Integral sind die Grenzen abhängig von der "äußeren"



Analog in 3D:

$$\int dx dy dz f(x,y,z) = \int dx \int dy \int dz f(x,y,z)$$

$$[a,b] \times [c,d] \times [e,f]$$

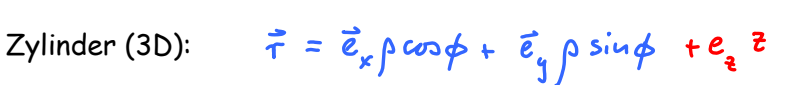


Zusammenfassung: V5 Krummlinige Koordinaten

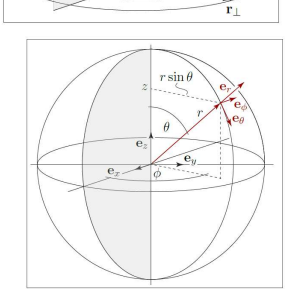


Polar (2D):
$$\gamma' = \rho$$
, $\gamma^2 = \phi$

$$\vec{\tau} = \vec{e}_{\chi} \rho \cos \phi + \vec{e}_{y} \rho \sin \phi$$







ZVZa

Koordinatenlinie:

$$\vec{\tau}_{\gamma'}(y') = \vec{\tau}_{\rho}(\rho) , \hat{\tau}_{\phi}(\phi)$$

$$\vec{\tau}_{yj}(y^j) \equiv \vec{\tau}(y^i, ..., y^i, ..., y^d)$$

werden konstant gehalten

Koordinatenbasis:

werden konstant genatien
$$\{\vec{v}_j, \vec{\tau}\}$$
erinnert an Ortsabhängigkeit,
meist nicht explizit angezeigt
$$\vec{v}_j = \vec{v}_j \vec{\tau}_j (y_j) = \vec{v}_j \vec{\tau}_j (y_j)$$

Metrik:

{ein} Lokale Basis:

$$\vec{e}_{j,\vec{\tau}} = \frac{\vec{v}_{j,\vec{\tau}}}{\|\vec{v}_{j,\vec{\tau}}\|} = \frac{\vec{v}_{j,\vec{\tau}}}{\|\vec{v}_{i,\vec{\tau}}\|}$$

Ē, Ē, Ē T= Zeixi 1ZV26 Kartesisch:

Polar (2D):

$$\vec{v}_{\rho} = \vec{e}_{\rho} , \qquad \vec{e}_{\rho} = \vec{e}_{\chi} \cos \phi + \vec{e}_{y} \sin \phi , \qquad g_{\rho\rho} = 1 , \qquad \vec{\tau} = \vec{e}_{\rho} \rho$$

$$\vec{v}_{\phi} = \rho \vec{e}_{\phi} , \qquad \vec{e}_{\phi} = -\vec{e}_{\chi} \sin \phi + \vec{e}_{y} \cos \phi , \qquad g_{\phi\phi} = \rho^{2} , \qquad \vec{\tau} = \vec{e}_{\rho} \dot{\rho} + \vec{e}_{\phi} \rho \dot{\phi}$$

Zylinder (3D):

$$\vec{v}_{p} = \vec{e}_{p}, \qquad \vec{e}_{p} = \vec{e}_{k} \cos \phi + \vec{e}_{y} \sin \phi, \qquad g_{pp} = 1, \qquad \vec{\pi} = \vec{e}_{p} p + \vec{e}_{z} \hat{z}$$

$$\vec{v}_{p} = p \vec{e}_{p}, \qquad \vec{e}_{p} = -\vec{e}_{k} \sin \phi + \vec{e}_{y} \cos \phi, \qquad g_{\phi\phi} = p^{2}, \qquad \vec{\tau} = \vec{e}_{p} \dot{p} + \vec{e}_{\phi} p \dot{\phi} + \vec{e}_{z} \hat{z}$$

$$\vec{v}_{z} = \vec{e}_{z}, \qquad \vec{e}_{z} = \vec{e}_{z}, \qquad g_{zz} = 1,$$

Kugel (3D):

$$\vec{v}_{\tau} = \vec{e}_{\tau}, \quad \vec{e}_{\tau} = \vec{e}_{y} \sin \theta \cos \phi + \vec{e}_{y} \sin \theta \sin \phi + \vec{e}_{z} \cos \theta, \quad f_{\tau\tau} = 1, \quad \vec{\tau} = \vec{e}_{\tau} \tau$$

$$\vec{v}_{\theta} = \tau \vec{e}_{\theta}, \quad \vec{e}_{\theta} = \vec{e}_{x} \cos \theta \cos \phi + \vec{e}_{y} \cos \theta \sin \phi - \vec{e}_{z} \sin \theta, \quad \vec{j}_{\theta\theta} = \tau^{2}, \quad \vec{\tau} = \vec{e}_{\tau} \vec{\tau} + \vec{e}_{\theta} \vec{\tau} \dot{\theta}$$

$$\vec{v}_{\phi} = \tau \cos \theta \vec{e}_{\phi}, \quad \vec{e}_{\phi} = -\vec{e}_{x} \sin \phi + \vec{e}_{y} \cos \phi, \quad \vec{j}_{\phi\theta} = \tau^{2} \sin \theta, \quad + \vec{e}_{\phi} \vec{\tau} \dot{\phi} \sin \theta$$

Alle diese lokalen Basen sind orthonormal: $\vec{e}_i \cdot \vec{e}_i = \delta_{ii}$

eire; = Eijkek Für Zylinder & Kugelkoordinaten:

S h b o zyklische Reihenfolge:

Zusammenfassung: 2D-Flächenintegrale für Fläche in d = 2,3 Dimensionen

12C4b

 $\mathbf{r}(y^1, y^2, y^3 + \delta^3) -$

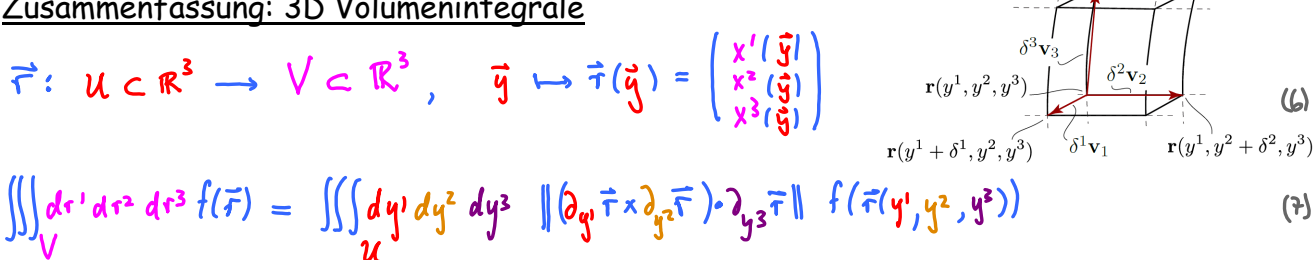
$$\vec{\tau}: \ \mathcal{K} \subset \mathbb{R}^{2} \to \mathcal{M} \subset \mathbb{R}^{4}, \qquad \vec{y} = \begin{pmatrix} y' \\ y^{2} \end{pmatrix} \mapsto \vec{\tau}(\vec{y}) = \begin{pmatrix} x'(\vec{y}) \\ \vdots \\ x''(\vec{y}) \end{pmatrix} \qquad (1)$$

$$\int_{S} dS \ f(\vec{\tau}) = \int_{\mathcal{M}} dy' \int_{S} dy'' \hat{\tau} \times \partial_{y}^{2} \vec{\tau} \| f(\vec{\tau}(y', y^{2})) \qquad (2)$$

für krummlinig-(3)orthogonale Koord.:

ds = dod + +2. sind Polar: $dS = p d \rho d \phi$ (4) (5) Kugel: Integrationsmaß:

Zusammenfassung: 3D Volumenintegrale

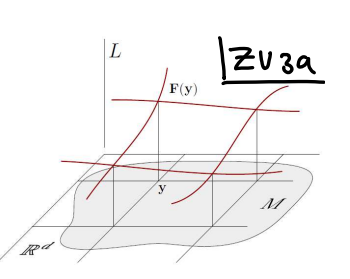


Zylinder: dV = p dp dp dz (9) Kugel: dV = +2 sin 0 d+ d0 dp (v) Integrationsmaß:

Zusammenfassung V3.1 Felder

$$\vec{F}: M \subset \mathbb{R}^d \longrightarrow L \subset \mathbb{R}^n$$

$$\vec{y} = (y', ..., y^d)^T \longmapsto \vec{F}(\vec{y}) = (F'(\vec{y}), ..., F^n(\vec{y}))^T$$



V3.2 Skalarfelder, Gradient

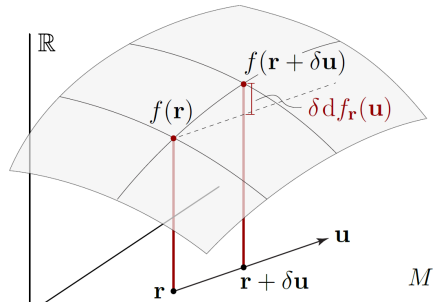
Totales Differential: differentielle Änderung von f bei $\vec{\iota}$ durch einen $\vec{\iota}$ -Schritt:

$$df_{+}: \mathbb{R}^{d} \rightarrow \mathbb{R}, \quad \vec{u} \mapsto df_{\vec{\tau}}(\vec{u}) = \lim_{\delta \rightarrow 0} \{f(\vec{\tau} + \delta \vec{u}) - f(\vec{\tau})\}$$

$$df_{\vec{y}}(\vec{u}) = \partial_{yk}f(\vec{y}) u^k = \partial_{k}f u^k \equiv \vec{\nabla}f_{\vec{y}} \cdot \vec{u}$$

Gradient in kartesischen Koordinaten: $\partial^{i} = \partial_{i}$

$$\frac{\nabla f}{\text{grad } f'} : M \subset \mathbb{R}^d \longrightarrow \mathbb{R}^d, \\
\downarrow^{d}_{grad} f' \longrightarrow \nabla f_{\bar{x}} \equiv \begin{pmatrix} \partial' f(\bar{x}) \\ \partial^{d}_{f(\bar{x})} \end{pmatrix} \equiv \bar{e}_{\bar{i}} (\bar{\nabla} f)_{(\bar{x})}^{i}$$



🏹 🕺 zeigt in Richtung maximaler Steigung v. 🗜 🎤 steht 🔔 🛮 auf den 'Höhenflächen' v. 🗜

gi+; =0, qii = 1/gii

$$\vec{\nabla}_{r}f = \vec{v}_{i}(\vec{\nabla}f)^{i} = \vec{v}_{i}g^{ij}\partial_{i}f \qquad \text{(in Koordinatenbasis)}$$

$$= \vec{e}_{i}\sqrt{g_{ii}}\partial_{i}f \qquad \text{(in lokaler Basis)}$$

Zusammenfassung V3.3: Gradientenfeld

Gradientenfeld:

$$\vec{\nabla} \varphi : M \subset \mathbb{R}^d \longrightarrow \mathbb{R}^d, \quad \vec{x} \longmapsto \vec{\nabla} \varphi_{\vec{x}}$$

$$\vec{x} \longmapsto \vec{\nabla} \varphi_{\vec{x}}$$

(1)

 $\int d\vec{\tau} \cdot \vec{u} \quad \text{ist wegunabhängig} \quad \forall \; \vec{x}', \vec{x} \in M$ $\iff \oint d\vec{\tau} \cdot \vec{u} = 0 \quad \text{für geschlossenen Weg}$

Konkret:
$$\int_{\overrightarrow{x}' \to \overrightarrow{y}} d\overrightarrow{x} \cdot \overrightarrow{x} = \int_{\overrightarrow{x}' \to \overrightarrow{y}} d\overrightarrow{x} \cdot \overrightarrow{y} = \varphi(\overrightarrow{x}) - \varphi(\overrightarrow{x}')$$

$$\overrightarrow{x} = \int_{\overrightarrow{x}' \to \overrightarrow{y}} d\overrightarrow{x} \cdot \overrightarrow{y} = \varphi(\overrightarrow{x}) - \varphi(\overrightarrow{x}')$$

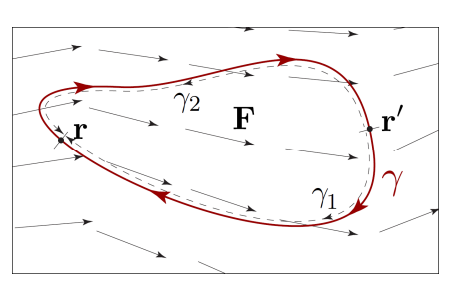
$$\overrightarrow{x} = \int_{\overrightarrow{x}' \to \overrightarrow{y}} d\overrightarrow{x} \cdot \overrightarrow{y} = \varphi(\overrightarrow{x}) - \varphi(\overrightarrow{x}')$$

$$\overrightarrow{x} = \int_{\overrightarrow{x}' \to \overrightarrow{y}} d\overrightarrow{x} \cdot \overrightarrow{y} = \varphi(\overrightarrow{x}) - \varphi(\overrightarrow{x}')$$

戸(え) = - マタネ Konservatives Kraftfeld (2) ist ein Gradientenfeld:

$$W[Y] = \oint U\vec{r} \cdot \vec{F} = 0$$

$$\iff W[Y_1] = W[Y_2] \qquad (3)$$



Arbeit von x' nach x ist unabhängig vom Weg!

geschlossener Weg: $\frac{1}{3} = \frac{1}{3} \cdot \frac{1}{$

Zusammenfassung V3.2,4-6: Nabla, Gradient, Divergenz, Rotation, Laplace

743c

(1)

Skalarfeld: $\varphi(\vec{r})$; Vektorfeld: $\vec{u}(\vec{r})$

Totales Differential: $d_{\vec{x}}f(\vec{u}) = \sum_{j} \partial_{j} f(\vec{x}) u^{j} = \nabla f_{\vec{x}} \cdot \vec{u}$ (3)

Divergenz: $\vec{\nabla} \cdot \vec{u} = \partial_i \vec{u}^i = \partial_1 \vec{u}^i + \partial_2 \vec{u}^i + \partial_3 \vec{u}^i$ (3)

Rotation: $\vec{\nabla} \times \vec{u} = \vec{e_i} \; \epsilon_{ijk} \partial_j u^k = \begin{bmatrix} \partial_z u^2 - \partial_z u^2 \\ \partial_z u^2 - \partial_z u^2 \end{bmatrix}$ (8) (alle Indizes unten)

Gradiententelder sind 'wirbelfrei': $\nabla \times (\nabla \varphi) = 0$ (9) Wirbelfelder sind 'quelfrei': $\nabla \cdot (\nabla \times \vec{u}) = 0$ (10)

Zusammenfassung: L5.1-5.3 Lineare Abbildungen und Matrizen

12L5a

Die Abbildung F: V → W ist 'linear', falls F (a ず + b び) = a F(む) + b F(む) (1)

Für $V = \mathbb{C}^{n}$, $W = \mathbb{C}^{n}$ hat eine lineare Abbildung die Form:

 $A: C \rightarrow C''$, $\vec{x} \mapsto \vec{y} = A\vec{x}$, mit $y^i = a_j x^j = \vec{A}^i \cdot \vec{x}$ (2)

m x n Matrix:

 $A = \begin{bmatrix} A' & \dots & A' & \dots & A' & \dots \\ A' & \dots & A' & \dots & A' & \dots \\ A^{i} & \dots & A^{i} & \dots & A^{i} & \dots \\ \vdots & \vdots & \vdots & \vdots & \vdots & \dots \\ A^{i} & \dots & A^{i} & \dots & A^{i} & \dots \\ \vdots & \vdots & \vdots & \vdots & \dots \\ A^{i} & \dots & A^{i} & \dots & A^{i} & \dots \\ \vdots & \vdots & \vdots & \vdots & \dots \\ A^{i} & \dots & A^{i} & \dots & A^{i} & \dots \\ A^{i} & \dots & \dots &$

Abbildung der Standardbasis: $\vec{e}_j \stackrel{A}{\longleftarrow} A \vec{e}_j = \vec{A}_j = \text{Spalte j}$ (6)

M·N dim. Vektorraum, ~ € 1ZL56 Komplexe (mxn)-Matrizen bilden

$$mat(C, m, n) \equiv \{A = \{A^i\}\}: i = 1, ..., m; j = 1, ..., n, A^i \in C\}$$
 (1)

 $(A,B) \mapsto A+B, \qquad (A+B)^i = A^i + B^i$ mit Matrixaddition, (elementenweise)

und Skalarmultiplikation, (
$$\lambda$$
, A) $\longrightarrow \lambda A$, (λA) $\longrightarrow \lambda A$, (λA) $\longrightarrow \lambda A$, (3)

Verknüpfung von zwei linearen Abbildungen Matrixmultiplikation

$$\mathbb{C}^{\mathsf{M}} \xrightarrow{\mathsf{A}} \mathbb{C}^{\mathsf{M}} \xrightarrow{\mathsf{B}} \mathbb{C}^{\mathsf{L}}$$

$$\vec{x} = \stackrel{A}{\longmapsto} \vec{y} = A \cdot \vec{x} \stackrel{B}{\longmapsto} \vec{z} = B \cdot \vec{y} = B \cdot (A \cdot \vec{x}) \equiv C \cdot \vec{x}$$
 (5)

$$\begin{pmatrix} k \\ j = B \\ i \end{pmatrix} = \begin{pmatrix} \vec{B}^{R} \\ i \end{pmatrix}_{i} \begin{pmatrix} \vec{A} \\ j \end{pmatrix}^{i} = \vec{B}^{R} \cdot \vec{A} \\ (Zeile k von B) \cdot (Spalte j von A)$$

$$\begin{cases} k = 1, ..., k \\ i = 1, ..., m \end{cases}$$

$$j = 1, ..., m$$

Matrixmultiplikation ist assoziativ & distributiv, aber nicht kommutativ!

Zusammenfassung: L5.5-6 Basistransformationen

ZL5c

(4)

Zwei Vektorräume: V = span {
$$\hat{v_i}$$
 } ,

$$/= span \{ v_j \}$$
,

$$W = span \{\hat{w}_i\}$$
 (1)

Allgemeine lineare Abbildung:

$$\hat{A}: V \rightarrow W \qquad \hat{x} = \hat{v}_i x^j \longmapsto \hat{y} = \hat{v}_i y^i \qquad (2)$$

Matrixdarstellung v. A:

$$\hat{A}(\hat{v}_j) = \hat{v}_i A^i_j$$

$$\hat{A}(\hat{v}_{j}) = \hat{v}_{i}A^{i}; \qquad \vec{y} = A \cdot \vec{x}, \quad A = \{A^{i}\}$$

In Standardbasis: A bildet Basisvektor

$$\vec{e}_j$$
 ab auf: $\vec{A}_j = \text{Spalte j von } A$

Zwei Basen für denselben Raum:
$$V = \text{span } \{\hat{v}_{i}\} = \text{span } \{\hat{v}_{i'}\}$$
 (5)

 $T:V\to V$ Basistransformation:

Darstellung v. altem Basisvektor

Matrixdarstellung v. T:

T-'= {(T-')';, } Inverse Transformation:

Darstellung v. neuem Basisvektor

und $\vec{y}' = A' \cdot \vec{x}'$: Bezug zwischen $\vec{g} = A \cdot \hat{\vec{x}}$

$$\hat{\mathbf{v}}_{j} = \hat{\mathbf{v}}_{i'}^{j} \top^{i'}; \qquad (6)$$

$$T = \{T^{i}_{j}\} \qquad \times^{ii'} = T^{i'}_{j} \times j \quad \vec{x}' = T \cdot \vec{x} \quad (3)$$

$$\vec{v}_j$$
 in neuer Basis: $\vec{\tau}_j$ = Spalte j von T (8)

$$\hat{S}_{i'}^{i} = \hat{U}_{i}^{i} (T^{-i}) \hat{J}_{i'}, \chi \hat{J} = (T^{-i}) \hat{J}_{i'} \chi' i' \quad (9)$$

$$A' = T \cdot A \cdot T^{-1}$$
 (3)

Determinante: diagnostiziert lin. Unabhängigkeit d. Spaltenvektoren einer nxn-Matrix

Leibniz-Regel: $\det A \equiv \sum_{P} sgn(P) A^{PI}_{1} ... A^{PN}_{N} = \epsilon_{i_{1}...} i_{n_{1}} A^{i_{1}}_{1}... A^{i_{N}}_{N}$ (1)

2x2: $\begin{vmatrix} a' & b' \\ a^2 & b^2 \end{vmatrix} = a'b^2 - a^2b'$ 3x3: $\begin{vmatrix} a' & b' & c' \\ a^2 & b^2 & c^2 \\ a^3 & b^3 & c^3 \end{vmatrix} = \epsilon_{ijk} a^i b^j c^k$ (2)

Laplace-Entwicklung: $\det A = \sum_{k=1}^{N} \widetilde{A}^{k} A^{k} = \sum_{k=1}^{N} \widetilde{A}^{i}_{k} A^{i}_{k}$ (hier <u>keine</u>
(j fest) (i)

Kofaktor: $\widehat{A}^{i} = (-1)^{i+j} M^{i}$ Unterdeterminante: (streiche Zeile i, Spalte j aus A, bilde dann die Determinante)

Diagonalmatrix: $\det \left(\lambda_i \delta_j^i \right) = \prod_{i=1}^n \lambda_i$ def 1 = 1 (5)

Transponierte: $\det A = \det A^T$ (6)

Multilinearität: $\det(\vec{A}_1, ..., \vec{A}_N) = \lambda \det(\vec{A}_1, ..., \vec{A}_N) = \lambda \det(\vec{A}_1, ..., \vec{A}_N) = \lambda \det(\vec{A}_1, ..., \vec{A}_N)$ j-Spalte j-Spa

Antisymmetrie: Vorzeichenwechsel beim Vertauschen v. zwei Zeilen oder zwei Spalten.

 $det(..., \vec{B}, ..., \vec{c}, ...) = -det(..., \vec{c}, ..., \vec{B}, ...)$ (2)

Zwei gleiche Spalten oder Zeilen: $det(..., \vec{E},..., \vec{E},...) = 0$ (3)

Konstruktion des Inversen: $\underline{\underline{A}} = \{A^i\} \} \Rightarrow \underline{\underline{A}}^{-i} = \underline{\underline{C}} = \{C^i_{\mathbf{R}}\}, \quad \underline{C}^i_{\mathbf{R}} = \underline{\widetilde{A}}^{\mathbf{R}}_{i} \quad (4)$

det A † o A invertierbar Spaltenvektoren v. A sind lin. unabhängig

Multiplikationstheorem: $\det\left(\underline{\underline{A}} - \underline{\underline{B}}\right) = \left(\det\underline{\underline{A}}\right)\left(\det\underline{\underline{B}}\right)$ (5)

Det. der Inversen $det \left(\underline{\underline{A}}^{-1}\right) = \left(det \underline{\underline{A}}\right)^{-1}$ (6)

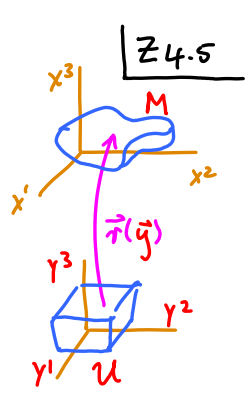
Krummlinige Integration in n Dimensionen

$$\vec{\tau}: \mathcal{U} \subset \mathbb{R}^{n} \longrightarrow \mathcal{M} \subset \mathbb{R}^{n}$$

$$\vec{\tau} : \mathcal{U} \subset \mathbb{R}^{n} \longrightarrow \vec{\tau}(\vec{\tau}) = \vec{\chi}(\vec{\tau}) = \begin{bmatrix} \chi'(y_{1}, ..., y_{n}) \\ \vdots \\ \chi^{n}(y_{1}, ..., y_{n}) \end{bmatrix}$$
krummlinig

n-dimensionales 'Volumenelement':

$$dV^{N} = dy' ... dy^{N} \cdot \left| \frac{\partial (x', ..., x^{N})}{\partial (y', ..., x^{N})} \right|$$



'Jacobi-Determinante', 'Funktionaldeterminante': = Volumenelement, welches von Koordinatenbasisvektoren $\vec{v}_i = \frac{\partial \vec{x}}{\partial y_i}$ aufgespannt wird:

$$\left|\frac{\partial \vec{x}}{\partial \vec{y}}\right| \equiv \left|\frac{\partial (\vec{x}', \dots, \vec{x}'')}{\partial (\vec{y}', \dots, \vec{x}'')}\right| = \det \left(\frac{\partial \vec{x}}{\partial \vec{x}'}, \frac{\partial \vec{x}}{\partial \vec{x}'}, \dots, \frac{\partial \vec{x}}{\partial \vec{y}''}\right) \equiv \det \left(\frac{\partial \vec{x}'}{\partial \vec{y}'}, \frac{\partial \vec{x}'}{\partial \vec{y}'}, \dots, \frac{\partial \vec{x}''}{\partial \vec{y}''}\right) = \det \left(\frac{\partial \vec{x}'}{\partial \vec{y}'}, \frac{\partial \vec{x}'}{\partial \vec{y}'}, \dots, \frac{\partial \vec{x}''}{\partial \vec{y}''}\right)$$

n-dimensionales Integral:

$$\int dx' ... \int dx'' f(x', ..., x'') = \int dy' ... \int dy'' \left| \frac{\partial(y', ..., x'')}{\partial(y', ..., y'')} \right| f(x'(\bar{y}), ..., x''(\bar{y}))$$

Das ist Verallgemeinerung der Substitutionsrege in 1D:

$$\int dx f(x) = \int dy \left| \frac{dx}{dy} \right| f(x(y))$$

Zusammenfassung: L7 Diagonalisieren, Eigenwerte, Eigenvektoren

ZL7

Eigenwertgleichung:

$$A \cdot \vec{v} = A \vec{v}$$
 Eigenwert Eigenvektor

(1)

(2)

(3)

Bedingung an EW:

$$o = det(A - \lambda 1) := P_A(\lambda)$$

charakteristisches Polynom

Für
$$A \in mat(C, n, n)$$
 ist $P_A(\lambda)$ ein Polynom v. Grad n , mit n

Nullstellen. diese entsprechen den n Eigenwerten v.

Wenn EW λ_j bekannt ist, finde dazugehörigen EV $\overline{\psi}_i$ durch Lösen des linearen Gleichungsystems:

$$(A - \lambda, 1) \vec{v} = \vec{o} \qquad (4)$$

Falls n linear unabhängige EV existieren, diagonalisiert durch,

$$T \cdot A \cdot T = D = diag(\lambda_1, ..., \lambda_n)$$
 (5)

die EV als Spaltenvektoren hat: wobei

$$T = (\vec{v}_1, \vec{v}_2, ..., \vec{v}_n) \tag{6}$$

Determinante = Produkt der Eigenwerte:

$$det(A) = \pi \lambda_{j}$$

$$S_{p}(A) = \sum_{i} \lambda_{i}$$
(7)

Spur = Summe der Eigenwerte:

Zusammenfassung: L8.1 Unitäre/orthogonale Matrizen

Transponierte Matrix:

 $A^{\mathsf{T}} \in \mathsf{mat}\left(\mathbf{C}, \mathbf{n}, \mathbf{n}\right)$

Reelles Skalarprodukt (L3.1): $\langle , \rangle : \bigvee \times \bigvee \rightarrow \mathbb{R}$, $\langle \vec{u}, \vec{v} \rangle = u^i \delta : \vec{v}$ Komplexes Skalarprodukt (L3.4): $\langle , \rangle : \bigvee \times \bigvee \rightarrow \mathbb{C}$, $\langle \vec{u}, \vec{v} \rangle = \vec{u}^i \quad \{ i, v \} \in \mathbb{C}$

Komplexe Matrix:

$$A = mat(C, m, n)$$

$$(A)^{i} = A^{i};$$

Adjungierte Matrix:

$$A = \max(C, n, n)$$

$$A^{\dagger} \in \max(C, n, n),$$

$$A^{\top} \in \max(C, n, n),$$

$$A^{\top} \in \max(C, n, n)$$

$$A^{\top} \in \max$$

$$mat(C, n, n) > U$$
 ist 'unitar' falls $U^{\dagger} \cdot U = 1$ (aquivalent) $U' = U^{\dagger}$

$$\langle \mathcal{U}.\vec{v}, \mathcal{U}\vec{\omega} \rangle = \langle \vec{v}, \vec{w} \rangle$$

Komplexes Skalarprodukt invariant:

$$mat(R, n, n) \ni 0$$
 ist 'orthogonal' falls

Spalten (oder Zeilen-)vektoren einer unitären oder orthogonalen Matrix bilden eine orthonormierte Basis.
$$\mathcal{U} = (\vec{v}_1, ..., \vec{v}_n)$$
 $\langle \vec{v}_i, \vec{v}_i \rangle$

$$O^{\mathsf{T}} O = \mathbf{1}$$
 (1) $\stackrel{\text{(äquivalent)}}{\Leftrightarrow} O^{\mathsf{T}} = O^{\mathsf{T}}$

$$\langle 0.\vec{v}, 0 \vec{v} \rangle = \langle \vec{v}, \vec{w} \rangle$$

(vi, vi) = Si

Zusammenfassung: L8.1 Unitäre/orthogonale Gruppen

ZL 86

'Unitäre Gruppe':

'Orthogonale Gruppe':

$$\mathcal{O}(n) = \{ \mathcal{O} \in \operatorname{mat}(\mathbb{R}, n, n); \quad \mathcal{O}^{\mathsf{T}} \mathcal{O} = \mathbf{1} \}$$

'spezielle unitäre Gruppe':

'spezielle orthogonale Gruppe':

Zusammenfassung: L8.2 Hermitesche/symmetrische Matrizen

$$A \in mat(c, n, n)$$
 ist 'hermitesch', falls

$$A \stackrel{!}{=} A^{\dagger} \Rightarrow A^{i}_{j} \stackrel{!}{=} (A^{\dagger})^{i}_{j} = \overline{A^{j}}_{i}$$

Für <u>hermitesche</u> Matrizen gilt:

$$\langle \vec{z}, A\vec{x} \rangle = \langle A\vec{z}, \vec{x} \rangle$$
 und $\langle \vec{x}, A\vec{x} \rangle \in \mathbb{R}$

$$A \in \operatorname{mat}(C, n, n)$$
 ist 'symmetrisch', falls $A \stackrel{!}{=} A^T \Rightarrow A^{i} \stackrel{!}{=} (A^T)^{i} \stackrel{!}{=} A^J$;

Für symmetrische Matrizen gilt:

$$\langle \vec{z}, A\vec{x} \rangle = \langle A\vec{z}, \vec{x} \rangle$$

$$A \in mat(C, n, n)$$
 ist 'hermitesch', falls

$$A \stackrel{!}{=} A^{\dagger} \Rightarrow A^{i}_{j} = (A^{\dagger})^{i}_{j} = \overline{A^{j}}_{i}$$

$$A \stackrel{!}{=} A^{T} \Rightarrow A^{i}_{i} \stackrel{\mathscr{C}}{=} (A^{T})^{i}_{j} = A^{j}_{i}$$

Für alle hermiteschen (insb. auch für alle reelle symmetrischen) Matrizen gilt:

- sie sind immer diagonalisierbar
- $\lambda = \bar{\lambda}$ - alle Eigenwerte sind reell:
- es lässt sich immer eine Orthonormalbasis aus Eigenvektoren finden
- (ス-ス) (ず.ガ)=0 - Eigenvektoren zu verschiedenen Eigenwerten sind orthogonal:

Für
$$\left\{ \begin{array}{l} \text{hermitesche} \\ \text{reell symmetrische} \end{array} \right\}$$
 Matrizen ist $T \left\{ \begin{array}{l} \text{unit"ar:} \\ \text{orthogonal:} \end{array} \right.$ $T^{-1} = T^{+1}$

Zusammenfassung: C5.1-3,5 Taylor-Reihen

$$f(x) = \sum_{n=0}^{\infty} \frac{1}{n!} (x-y)^n f^{(n)}(y)$$

Wichtige Beispiele:

$$\frac{1-\frac{2}{n}}{1-\frac{2}{n}} = \sum_{N=0}^{\infty} \xi^{N} \qquad (2) \qquad \ln(1+\frac{2}{n}) = \sum_{N=0}^{\infty} \frac{-1}{n+1} (-2)^{N+1}$$

12/41

für ze C

$$e^{\frac{2}{b}} = \sum_{N=0}^{\infty} \frac{1}{N!} z^{N}, \quad \sin z = \sum_{M=0}^{\infty} \frac{(-1)^{M}}{(2n+1)!} z^{2m+1} = \underbrace{e^{iz} - e^{-iz}}_{2i}$$

$$\omega z = \sum_{M=0}^{\infty} \frac{(-1)^{M}}{(2m)!} z^{2m} = \underbrace{e^{iz} - e^{-iz}}_{2i}$$

Euler-de Moivre:

$$o^{it} = cost + i sint$$

$$e^{i2} = \omega_{2} + i \sin_{2}$$
 (7) Euler: $e^{i\pi} + 1 = 0$ (8)

Polardarstellung einer komplexen Zahl:

$$z = x + iy = (z) e^{i\phi}$$
 (9)
$$\begin{cases} |z|^2 = x^2 + y^2, & (10) \\ tam \phi = y/x & (11) \end{cases}$$

Sei f(z) eine beliebige komplexe Funktion mit wohldefinierter Taylor-Reihe,

$$f: \mathbb{C} \longrightarrow \mathbb{C}$$
, $z \mapsto f(z) = \sum_{n=0}^{\infty} \frac{f(n)}{n!} z^n$

Erweiterung als Matrix-Funktion:

$$f: mat(C,n,n) \rightarrow mat(C,n,n)$$
, $A \mapsto f(A) = \sum_{n=0}^{\infty} \frac{f^{(n)}(n)}{n!} A^n$

Falls die Matrix diagonalisierbar ist, $A = T D T^{-1}$ mit $D = \begin{pmatrix} \lambda_1 \\ \lambda_2 \\ \vdots \\ \lambda_n \end{pmatrix}$

gilt:

$$f(A) = T f(D)T^{-1} = T \begin{cases} f(\lambda_1) \\ f(\lambda_2) \end{cases} T^{-1}$$

Zusammenfassung: C7.2 Separable Differentialgleichungen

ZC7,2

(1)

Separable DG:

$$d_t f(t) = g(t) h(f(t))$$

$$mit f(l_0) = f_0 (i')$$

Lösungsweg: Trennung der Variablen

Stammfunktionen:
$$H(f) - H(f_0) = G(t) - G(t_0)$$
 (4)

Nach fauflösen:
$$f(t) = H^{-1}(G(t) - G(t)) + H(x_0)$$
 (5)

Zusammenfassung: C7.3 Lineare DG 1. Ordnung

Lineare DG:
$$f(t) = g(t) f(t) + h(t)$$
, mit $f(0) = f_0$

falls h(t) = 0 : homogen

Allgemeine Lösung einer inhomogenen linearen DG:

Allgemeine homogene Lösung erfüllt homogene DG:

partikuläre Lösung erfüllt inhomogene DG:

homogene Lösung (Trennung d. Variablen):

partikuläre Lösung (Variation d. Konstanten):

$$f(t) = f_{\bullet}(t) + f_{\bullet}(t)$$

falls $h(t) \neq 6$: inhomogen

$$\dot{f}_{R}(t) = g(t) f_{R}(t)$$

$$\dot{f}_{\mathbf{p}}(t) = g(t) \cdot f_{\mathbf{p}}(t) + h(t)$$

$$f_{\ell}(t) = f_{\bullet} e^{\frac{\overline{\Phi}(t)}{2}}$$

$$\Phi(t) = \int_{t_0}^{t} d\tilde{t} g(\tilde{t})$$

$$f_P(t) = c(t) e^{\Phi(t)}$$

$$c(t) = \int_{t_0}^{t} d\tilde{t} \ h(\tilde{t}) e^{-\Phi(\tilde{t})}$$

Zusammenfassung: C7.4 Homogenes System von linearen DG 1. Ordnung

mit

mit

2 C7.4a

$$\frac{d_t \vec{f}(t)}{d_t \vec{f}(t)} = A(t) \cdot \vec{f}(t)$$

$$\leq C^n \qquad \qquad mat(C, n, n)$$

Superpositionsprinzip (SP) für lineare, homogene DG:

falls
$$d_{i}\vec{f}_{j}(t) = A(t) \cdot \vec{f}_{j}(t)$$
 $(j = 1, 2)$ dann $d_{i}\vec{f}(t) = \lambda_{i}\vec{f}_{i}(t) + \lambda_{i}\vec{f}_{i}(t)$

Für <u>konstanten Koeffizienten:</u>

exp-Ansatz:
$$\vec{f}(t) = \vec{v} e^{\int t}$$
 Zeitabhängigkeit nur im Exponenten! zeitunabhängiger Vektor, $e \in \mathbb{C}^N$

führt auf Eigenwertgleichung: A 🕏 = 🥻 🕏

Falls A diagonalisierbar ist, ist die allgemeine Lösung die Summe über alle Eigenlösungen:

$$\vec{f}(t) = \sum_{j} \vec{v_{j}} e^{\lambda_{j} t} c^{j} \quad \text{mit} \qquad A \cdot \vec{v_{j}} = \lambda_{j} \vec{v_{j}} , \quad j = 1, ..., n$$

$$\vec{c} = \vec{\tau}' \cdot \vec{f}(o) , \qquad T = (\vec{v_{1}}, ..., \vec{v_{n}})$$

Allgemeinerer Exponentialansatz: (funktioniert auch dann, wenn A nicht diagonalisierbar ist):

$$\vec{f}(t) = e^{At} \vec{f}_{o}$$

Zusammenfassung: Inhomogene lineare DG 1. Ordnung

2 C7.4b

Allgemeine Lösung einer inhomogenen linearen DG:
$$\vec{x}(t) = \vec{x}_{\ell}(t) + \vec{x}_{\ell}(t)$$

Allgemeine homogene Lösung:
$$\dot{\vec{x}}_{p}(t) = A(t) \cdot \dot{\vec{x}}_{q}(t)$$

(irgendeine) Partikuläre Lösung:
$$\dot{\vec{x}}_{p}(t) = A(t) \cdot \vec{x}_{p}(t) + \vec{b}(t)$$

$$\frac{1D (n=1)}{x(t)} = a(t) x(t) + b(t)$$

homogene Lösung (Trennung d. Variablen):
$$\chi_{L}(t) = \chi_{0} e^{\frac{\Delta(t)}{2}}$$

$$\Phi(t) = \int_{t_0}^{t} d\tilde{t} \ a(\tilde{t})$$

partikuläre Lösung (Variation d. Konstanten):
$$x_p(t) = c(t) e^{\Phi(t)}$$

mit:
$$c(t) = \int_{t}^{t} d\tilde{t} \alpha(\tilde{t}) e^{-\Phi(\tilde{t})}$$

Zusammenfassung: Inhomegene lineare DG mit konstanten Koeffizienten

ZC7,4c

$$\dot{\vec{x}}(t) = A \cdot \vec{x}(t) + \vec{b}(t) , \qquad A = A(\vec{x}) \in mat(C,n,n) , \vec{b}(t) \in C$$

(i) Suche Lösung für homogene DGL per Exponential-Ansatz:

e-Ansatz:
$$\vec{x}_{4}(t) = \vec{v}_{e}$$
Zeitabhängigkeit nur im Exponenten!
zeitunabhängiger Vektor, $e \mathbb{R}^{n}$

Ergebnis: Allg. Lösung der homogenen DGL ist Summe über alle Eigenlösungen:

$$\vec{x}_{\lambda}(t) = \sum_{j} c_{ij}^{j} \vec{v}_{j} e^{\lambda_{ij} t}$$
 mit $A \cdot \vec{v}_{ij} = \lambda_{ij}^{j} \vec{v}_{ij}^{j}$, $j = 1, ..., n$

durch Anfangsbedingungen bestimmt Eigenwertproblem!

(ii) Partikuläre Lösung für inhomogene DGL: per Variation der Konstanten

$$\vec{x}_{p}(t) = \sum_{j} c_{p}^{j}(t) \vec{v}_{j} e^{\lambda_{j}t} ,$$
(zerlegt in Eigenbasis von A)

mit $c_{p}^{j}(t) = \int_{t_{0}}^{t} \vec{t} \vec{b} \vec{l} \vec{t} e^{-\lambda_{j}t}$ und $\vec{b}(t) = \sum_{j} \vec{b}^{j}(t) \vec{v}_{j}$

(iii) Allgemeine Lösung:
$$\vec{x}(t) = \vec{x}_{h}(t) + \vec{x}_{p}(t)$$
 (6)

Zusammenfassung: C5.4 Taylor-Entwicklung zur Lösung v. Gleichungen

ZC5.4,5

Löse die Gl. $\circ = F(y(x), x)$ mittels einer Reihenentwicklung

für die gesuchte Funktion $y(x) = \sum_{n=0}^{\infty} \frac{1}{n!} y_n x^n$, mit $y_n \equiv y_n^{(n)}$

$$o = F\left(\sum_{n=0}^{\infty} \frac{1}{n!} y_n x^n, x\right) = \sum_{n=0}^{\infty} F_n(y_0, ..., y_n) x^n \quad \text{mit} \quad \frac{1}{n!} F_n(y_0, ..., y_n) = \frac{1}{4x^n} F(y_0, x) \Big|_{x=0}$$

löse die Gleichungen F. = o iterativ nach yo, y, y, y, ...

Zusammenfassung: C5.5 Höherdimensionale Taylor-Reihen

Zusammenfassung: V3.3 Extrema mit Nebenbedingungen: Lagrange-Multiplikatoren 2 V3.3

Finde Extrema von $f: \mathcal{U} \subset \mathbb{R}^n \to \mathbb{R}$

mit k Nebenbedingungen $g_i(\vec{x}) = 0$, wobei $g_i : U \subset \mathbb{R}^n \to \mathbb{R}$, i = 1, ..., k

Lösungstrategie: Führe Lagrange-Multiplikatoren ein, λ_i , $i=1,\dots,k$

und bilde Hilfsfunktion: $F(\bar{x}, \lambda_i, ..., \lambda) = f(\bar{x}) - \sum_{i=1}^{n} \lambda_i g_i(\bar{x})$

Extremalbedingungen: $\nabla F(\vec{x}, \lambda_i, ..., \lambda_k) = \delta$ $\frac{\partial}{\partial \lambda_i} F(\vec{x}, \lambda_i, ..., \lambda_k) = \delta$ $\forall i = 1, ..., k$

Zusammenfassung C6.1 delta-Funktion

Z C6.1

Definierende Eigenschaft:

$$\int_{-\infty}^{\infty} \delta(x-y) \ f(x) = f(y)$$

8(x-y)

 $\delta_{y}(x) = \delta(x-y)$ ist ein unendlich hoher, unendlich scharfer Peak bei x = y:

Werte:

$$S(x-y) = \begin{cases} 0 & \text{für} & x \neq y \\ \infty & \text{für} & x = y \end{cases}$$

Normierung:

Beliebte Darstellungen:

$$\int_{-\infty}^{\infty} dx \, \delta(x-y) = 1$$

 $\delta(x) = \lim_{z \to 0} \frac{1}{z \pi} e^{-x^2/z^2}$ Gauß-Peak:

Lorentz-Peak: $\delta(x) = \lim_{\epsilon \to 0} \frac{\epsilon/\pi}{x^2 + \epsilon^2}$

 $S(x) = \lim_{S \to 0} \frac{1}{2S} e^{-1x1/S}$ Exp.-Peak:

Wichtige Eigenschaften:

$$\delta(ax) = \frac{1}{|a|} \delta(x) / (3) \qquad \delta(g(x)) = \frac{2}{i} \frac{\delta(x-y_i)}{|g'(y_i)|} \qquad \text{wobei } y_i \text{ die einfachen }$$
Nullstellen von $g(x)$ sind.

$$S(g(x)) = \sum_{i} \frac{S(x-y_i)}{|g'(y_i)|}$$

$$\frac{d}{dx}\Theta(x) = \delta(x), \quad (9) \qquad \int_{-\infty}^{\infty} dx \, \delta'(x-y) \, f(x) = -f'(y)$$

Zusammenfassung C6.2 Fourier-Reihen

Z C 6.2a

$$f: L \subset \mathbb{R} \longrightarrow \mathbb{C}$$
, $x \longmapsto f(x)$, $L = (x_0, x_0 + L)$

$$x \mapsto f(x)$$

$$I = (x_0, x_0 + L)$$

(1)

(2)

(3)

(4)

(5)

Fourier-Reihen-<u>Ansatz</u> für f(x):

$$f(x) = \frac{1}{L} \sum_{k \in Z}$$

 $f(x) = \frac{1}{L} \sum_{k \in \mathbb{Z}^{n}} \mathbb{Z}$ Fourier-Komponenten'

Rücktransformation:

$$\tilde{f}_{R} = \int dx \, e^{-iR \cdot x} \, f(x)$$

Eigenschaften der 'Fourier-Moden':

Wellenlänge:
$$\lambda_{k} = \frac{2\pi}{k} = \frac{L}{n}$$
 $e^{ik \cdot (x+L)} = e^{ik \cdot x}$

$$e^{ik \cdot (x+L)} = e^{ik \cdot x}$$

Orthonormalität:

$$\int_{T} dx \ e^{i(k'-k)x} = L \ \delta_{kk'}$$

Vollständigkeit:

$$\frac{1}{L} \sum_{k \in \frac{2\pi}{L}} e^{ikx} = \sum_{m \in \mathbb{Z}} \delta(x + mL)$$

Parseval-Identität:

(7)

L9.1 Konzeptionelle Grundlage der Fourier-Entwicklung

L9.10

Kernaussage: Fourier-Entwicklung ist Basiswechsel im Funktionenraum

Zur Erinnerung: Eigenschaften einer Basis in

Zur Er miller ung. Eige	Invariante Größe		In Komponenten ausgedrückt
Element:	$\vec{v} = \vec{\xi} \vec{e}_j \vec{v} \vec{j}$	(1)	(i')
Standardbasis: j=1,,n	وَ ا فَ ا ا ا ا ا ا ا ا ا ا ا ا ا ا ا ا ا	(Z)	3 (E;) = 8; (21)
Skalarprodukt:	$(4) \langle \vec{e}_{j'}, \vec{e}_{j} \rangle = \delta_{jj}$	(3)	Metrik ist trivial, also: Index oben = Index unten)
	(S) (u, v)		ં ફ પ્ર [ં] પ [ા] (૩')
Allgemeine Basis:	(§) 13,	(4)	
Orthonormalität:	$\sqrt[\infty]{\langle \vec{w}_{\alpha}, \vec{w}_{\beta} \rangle} = \delta_{\alpha\beta}$	(5)	D Zwi wiβ = δωβ GA
Entwicklung:	② マンス マペ マペ (デリンス で (デリンス で) (デッズ) (デッズ) (デッズ)	(6) (b)	(3) vi = Z wiv & Basis- (6) Tian Wechsel
Koeffizienten:	(%,5) (で、で)	(5)	^{(⑤} ひ ^{Ѡ (テ, 2¹)} ~
Vollständigkeit:	$\delta_{j,j} \stackrel{\text{(2)}}{=} \langle \vec{e}_{j,j} \vec{e}_{j} \rangle$	(8)	δ; (9)(4) ω' ω' ω' (8')
	$ _{\widehat{\mathbb{D}}} \stackrel{\cong}{=} \sum_{\alpha} \langle \vec{e}_j', \vec{w}_{\alpha} \rangle \langle \vec{w}_{\alpha}, e_j \rangle$	(9)	$\mathbb{P} = \mathbb{T}_{\alpha} = \mathbb{T}_{\alpha} = \mathbb{T}_{\beta}$

$L^2(I) = \{f: I$	existieren im Funktionenraum: $\rightarrow C \mid \int dx \bar{f}(x) ^2 < \infty$ $\rightarrow f(x)$	$\vec{v} \leftrightarrow f$ $\vec{v}_i \leftrightarrow f(x)$
	Invariante Größe	In Komponenten ausgedrückt 🕏
Element:	① t	$f(x) \stackrel{\text{(a)}}{=} \langle \delta_{x}, f \rangle \stackrel{\text{(b)}}{=} \int dx' \delta(x-x') f(x') (1')$
Standardbasis:	(4) δy = Σ γ (4) (4) (9)	
Skalarprodukt:	(f,g) (s)	
	$\bigcirc \qquad \langle \delta_{\eta'}, \delta_{\eta} \rangle = \delta(g'-g)$	
Allgemeine Basis: $k = \frac{2k}{L}$	(b) Yk (4)	
Orthonormalität:	(3)	[dx yk(x) yk'(x)=]dx ei(k-k)x = Skk' (5')
Entwicklung:	$ \begin{array}{ccc} & & & \downarrow & \downarrow \\ & \downarrow & $	$f(x) \stackrel{\text{(i)}}{=} \sum_{k} \underbrace{e^{ikx}}_{\sqrt{Z'}} \stackrel{\text{(i)}}{f_{k}} $ Basis- $\lim_{k \to \infty} \underbrace{f_{k}}_{\sqrt{Z'}} \stackrel{\text{(i)}}{\downarrow_{k}} $ Wechsel
Koeffizienten:	(4) Fix = (4) (4) (5)	$\int_{R}^{6} \int dx \frac{e^{-ikx}}{\int \mathcal{L}} f(x) \qquad \text{Basis-} \text{ We chsel} $
Vollständigkeit:	δ(y'-y) (Ξ) < δy', δy) (8)	S(y'-y) (9)(4) > 7/k(y') 2/k(y) (8)
	= \(\lambda_{\text{li}} \	1 eik(y'-y)

Zusammenfassung C6.2 Fourier-Reihen für periodische Funktionen

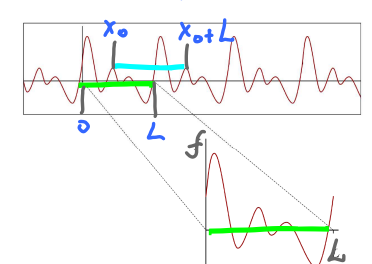
 $f: \mathbb{R} \longrightarrow \mathbb{C}$, $\star \mapsto f(\star)$ periodisch, mit Periode L:

$$f(x + L) = f(x)$$

$$f(x) \stackrel{(b.3)}{=} \frac{1}{L} \sum_{k} e^{ikx} \tilde{f}_{k} , k \in \frac{2\pi n}{L},$$

$$\hat{f}_{k} = \int_{0}^{L} dx e^{-ikx} f(x) = \int_{0}^{X_{0}+L} dx e^{-ikx} f(x)$$

$$= \int_{0}^{X_{0}+L} dx e^{-ikx} f(x)$$
beliebige



Faltung:

$$(f \star g)(x) \equiv \int_{x_0}^{x_0+L} dx' f(x-x')g(x'), \qquad (f \star g)_{R} = \widehat{f}_{R} \widehat{g}_{R}$$

Ableitung in Fourier-Darstellung:

$$\hat{f}_{R} = \int_{dx}^{L} e^{-ikx} f'(x) = ik \tilde{f}_{R}$$

Zeit-Darstellung:

Für
$$f:(t_0,t_0+\tau)\to 0$$

$$t \mapsto f(t)$$

Für
$$f:(t_0,t_0+\tau)\to C$$
 , $t\longmapsto f(t)$: $\omega_n=\frac{2\pi}{\tau}n$, $n\in\mathbb{Z}$

Fourier-Reihen-Ansatz:

$$f(t) = \frac{1}{T} \sum_{n} e^{-i\omega_{n}t} \tilde{f}_{n}$$

$$f(t) = \frac{1}{T} \sum_{n} e^{-i\omega_{n}t} \tilde{f}_{n} \qquad \qquad \tilde{f}_{n} = \int_{t_{0}}^{t_{0}+T} dt e^{+i\omega_{n}t} f(t)$$

Vorzeichen ist Konvention: in Physik +, Mathe: -

Ableitung:
$$\int_{n}^{\infty} dt e^{+i\omega_{n}t} f(t) = -i\omega_{n} \tilde{f}_{n}$$

Zusammenfassung: C6.3 Fourier-Transformation

2C6.3a

 $f:(-\infty,\infty)\longrightarrow \mathbb{C}$

Fourier-Rück-
Transformation:
$$f(x) = \int_{\frac{2\pi}{2\pi}}^{\infty} e^{-ikx} \tilde{f}(k)$$

Fourier-
Transformation:
$$\widetilde{f(k)} = \int_{-\infty}^{\infty} dx e^{-ikx} f(x)$$

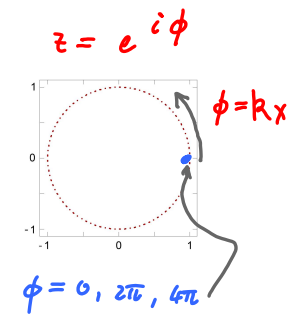
Wichtige Eigenschaften der Fourier-Exponenten:

'Vollständigkeit':

$$\int \frac{dk}{2\pi} e^{ikx} = \delta(x)$$

'Orthonormalität':

$$\int_{dx}^{\infty} e^{-ikx} = 2\pi \delta(k)$$



Wichtige Beispiele:

$$\leftrightarrow$$

\ZC6.3b

Physikerkonvention:
$$f(x,t) = \int_{\frac{2\pi}{2\pi}}^{\frac{dk}{2\pi}} \int_{\frac{2\pi}{2\pi}}^{\frac{d\omega}{2\pi}} e^{i(kx - \omega t)} \tilde{f}(k,\omega)$$
 (1)

Merkregel:
$$\frac{\partial}{\partial x} \xrightarrow{FT} ik \qquad \frac{\partial}{\partial t} \xrightarrow{FT} -i\omega$$
 (2)

Parseval:
$$\int_{-\infty}^{\infty} \frac{dx}{f(t)} g(t) = \int_{-\infty}^{\infty} \frac{dk}{f(k)} \tilde{f}(k)$$
 (3)

Faltungstheorem:
$$(\widetilde{f} * g)(k) = \widetilde{f}(k) \widetilde{g}(k)$$
 (6)

Zusammenfassung: C7.5 DGL mit konstanten Koeffizienten - Fourier, Green \2 C7.5a

$$\left[c_{n} d_{t}^{n} + c_{n-1} d_{t}^{n-1} + \dots + c_{1} d_{t} + c_{0}\right] \times (t) = f(t) \qquad (1)$$

Kurznotation: $\mathcal{L}(t) \times (t) = f(t)$ (2)

Fourier-transformiert:
$$\int_{\overline{z_n}}^{\overline{z_n}} e^{-i\omega t} \, \widehat{f}(\omega)$$
 (3)

$$\widetilde{L}(-i\omega)\widetilde{\times}(\omega) = \widetilde{f}(\omega) \quad \text{(4)} \quad \text{mit} \quad \widetilde{L}(-i\omega) = \sum_{\ell=0}^{\infty} C_{\ell}(-i\omega)^{\ell} \quad \text{(5)}$$

Aufgelöst:
$$\widetilde{\chi}(\omega) = \widetilde{\widetilde{\chi}}(\omega) \widetilde{f}(\omega)$$
 (6) mit $\widetilde{\widetilde{\chi}}(\omega) = \widetilde{\widetilde{L}(-i\omega)}$ (7)

Green'sche
Funktion erfüllt:
$$\widetilde{\mathcal{L}}(-i\omega) \cdot \widetilde{\mathcal{G}}(\omega) = \underbrace{1}_{===}^{\infty} (8) \xrightarrow{\text{Fourier-Tr.}} \widehat{\mathcal{L}}(t) \mathcal{G}(t) = \underbrace{\mathcal{L}}(t) \mathcal{G}(t)$$

Faltungstheorem, angewandt auf (6):
$$\chi(t) = \int_{-\infty}^{\infty} du \, dt - u f(u)$$
 = allgemeine Lösung für beliebigen Antrieb!

Zusammenfassung: C7.6 Fluss einer DG

2C7, II a

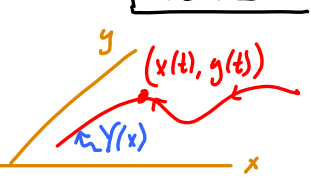
Autonome DGL in zwei Dimensionen:

$$\dot{x} = f(x,y)
\dot{y} = g(x,y)$$

$$y(t) = Y(x(t))$$

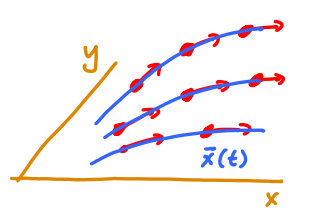
$$\frac{dY}{dx} = \frac{\dot{y}}{\dot{x}} = \frac{g(x,Y)}{f(x,Y)}$$

$$\frac{dY}{dx} = \frac{\dot{y}}{\dot{x}} = \frac{g(x,Y)}{f(x,Y)}$$



DGL für Feldlinie eines Vektorfelds $\vec{E}(\vec{k}): \vec{R} \rightarrow \vec{R}$

$$\frac{dV}{dx} = \frac{\dot{y}}{\dot{x}} = \frac{E_{y}(x, Y)}{e_{x}(x, Y)}$$



Zusammenfassung: C7.7 Fixpunkte, Linearisierung von Differentialgleichungen

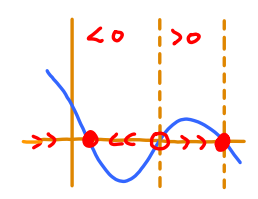
$$\frac{1}{x} = \frac{1}{x}(x)$$
 hat Fixpunkt bei x^* falls $\frac{1}{x}(x^*) = 0$

$$\vec{f}(\vec{x}^*) = c$$

$$\dot{x} = f(x)$$

Für n=1: $\dot{x} = f(x)$: o instabile Fixpunkte:

stabile Fixpunkte:

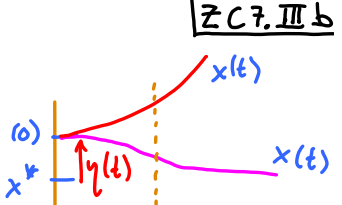


Lineare Stabilitätsanalyse (n=1):

$$\dot{x} = f(x)$$

$$\dot{X} = f(x)$$
 , $f(x*) = 0$

$$\eta(t) \equiv \chi(t) - x^* \implies \dot{\eta}(t) = f'(\chi^*) \eta(t)$$



Lösung für kleine Auslenkungen:

$$y(t) = y(0) \exp[f'(x^*)t]$$

mit charakteristischen Zeitskala:

Stabilität von Fixpunkten in höheren Dimensionen:

$$\vec{x}(t) = \vec{f}(\vec{x}(t)), \quad \vec{f}(\vec{x}^*) = 0$$

$$\vec{f}(\vec{x}^*) = c$$

$$\vec{x}(t) \equiv \vec{x}(t) - \vec{x}^*$$

$$\dot{\eta}(t) = A \cdot \dot{\eta}(t)$$

$$\vec{\eta}(t) \equiv \vec{x}(t) - \vec{x}^* \implies \vec{\eta}(t) = A \cdot \vec{\eta}(t) , \qquad A = (A^i_j) = \frac{\partial f^i}{\partial x_j}(\vec{x}^*)$$

Lösung für kleine Auslenkungen ist Summe über Eigenmoden von A:

$$\bar{\eta}(t) = \sum_{j} \bar{v}_{j} e^{\lambda_{j} t} c_{s}^{j}$$

 $\eta(t) \rightarrow \tilde{o}$ nur falls 'A negativ definit' ist: $\Re(\lambda_i) < 0 \quad \forall i$

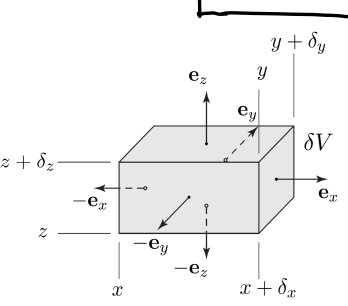
Zusammenfassung: V3.5 Divergenz, Satz v. Gauß

Divergenz (kartesisch):

$$\operatorname{div} \ \vec{u} = \vec{\nabla} \cdot \vec{u} = \sum_{i=1}^{d} \partial_i u^i$$

Geometrische Definition der Divergenz:

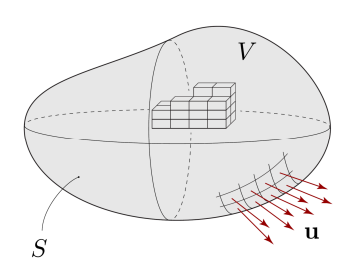
$$\vec{\nabla} \cdot \vec{u} = \lim_{\delta V \to 0} \frac{1}{\delta V} \int_{\delta S} d\vec{S} \cdot \vec{u} = \text{'Ausfluss pro Volumenelement'}$$



Satz v. Gauß: Volumenintegral der Divergenz = Flussintegral über Fläche

$$\int_{V}^{V} \nabla \cdot \vec{u} = \int_{V}^{V} d\vec{s} \cdot \vec{u}$$
Volumen
$$\int_{V}^{V} d\vec{s} \cdot \vec{u}$$
Aussenfläche von V

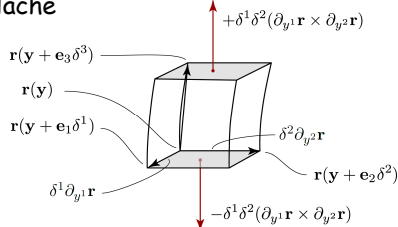




V (Suggestive Notation Rand des Volumens = Oberfläche

Divergenz in krummlinigen Koordinaten (d=3):
$$\bar{v}_j = \partial_{y,j} \bar{\tau}(y) = \bar{e}_j n_j$$

$$\bar{v} = \frac{1}{n_1 n_2 n_3} \left[\partial_{y,j} (n_2 n_3 u') + \partial_{y,j} (n_3 n_1 u') + \partial_{y,j} (n_1 n_2 u'') \right]$$



Zusammenfassung: V3.6 Satz von Stokes

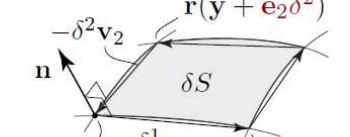
Rotation kartesisch:

Geometrische Definition der Rotation:

'Zirkulation pro gerichteter Fläche' $S\bar{S} = \hat{\chi} S\bar{S}$:

$$8\vec{5} = \hat{n} 85$$

$$\hat{n}_{\ell}(\vec{\nabla} \times \vec{u}) = \lim_{\delta S \to 0} \frac{1}{\delta S} \oint_{\gamma} d\vec{r} \cdot \vec{u}$$

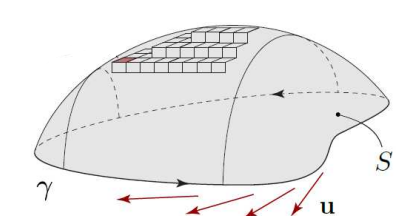


Z V3.6

Satz v. Stokes: Flussintegral der Rotation = Linienintegral

$$\int_{S_{1}} d\vec{s} \cdot (\vec{\nabla} \times \vec{u}(\vec{r})) = \oint_{X_{1}} d\vec{r} \cdot \vec{u}(\vec{r})$$
(2)
$$S_{1} \sim \text{Fläche}$$
Rand der Fläche = Linie

$$\int_{S}^{dS_{i}} (\partial_{x} u)^{i} = \int_{\partial S}^{dr_{i}} u^{i}$$
suggestive Notation $\int_{S}^{dS_{i}} (S^{i})^{i}$



Rotation in krummlinigen Koordinaten: $\vec{v}_i = \vec{e}_i \vec{r}(y) = \vec{e}_i \vec{r}$

$$\vec{v}_j = \partial_{y,j} \vec{\tau}(y) = \vec{e}_j n_j$$

$$(\vec{\nabla}_{\times}\vec{u})^{k} = \frac{1}{n_{i}n_{j}} \left[\partial_{y_{i}}(n_{i}u^{j}) - \partial_{y_{i}}(n_{i}u^{i}) \right]$$
 (4) $\left\{ \text{ analog für zyklisch } \text{ vertauschte Komponenten} \right\}$

Zusammenfassung: C9.1-2 Analytische Funktionen I

209.1-2

Def: Komplexe Funktion

$$f(z) = \begin{cases} \mathcal{U} \subset \mathbb{C} & \longrightarrow \mathbb{C} \\ z = x + iy & \longmapsto f(z) = u(x,y) + i \sigma(x,y) \end{cases}$$

ist analytisch in

$${\mathcal U}$$
 , falls

f'(z) überall in U

Cauchy-Riemann-

Differentialgleichungen (CRG):

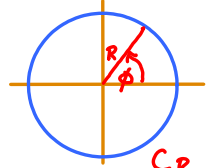
$$\partial_x \mathcal{U} = \partial_y \mathcal{U}$$
 (2) $\partial_x \mathcal{U} = -\partial_y \mathcal{U}$

Def: Komplexes

$$\int_{V}^{V} dz f(z) = \int_{t_0}^{t_1} dt \frac{dz(z)}{dt} f(\gamma(z))$$
Substitution: $z = \gamma(z)$

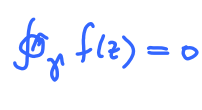
Wichtiges

$$I_{n} = \emptyset d_{t} = \begin{cases} 2\pi i & \text{falls} & n = -1 \\ 0 & \text{falls} & n \neq -1 \end{cases} = 2\pi i \delta_{n-1}$$



Satz v. Cauchy: falls f(3) analytisch ist auf einfach zusammenhängendem Gebiet, gilt:

Geschlossener Weg liefert 0:





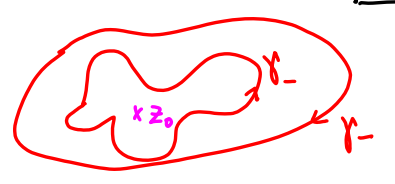


$$= F(z_1) - F(z_2) \quad \text{mit} \quad F'(z) = f(z_2)$$

Zusammenfassung: C9.3-4 Analytische Funktionen II



$$T_{n}^{(\underline{t})} = \oint_{X_{t}} dz (z-z_{o})^{n} = \pm 2\pi i \delta_{n,-1}$$



Reihenentwicklungen:

$$f(z) = \sum_{n=0}^{\infty} a_n (z-z_0)^n , \quad a_n = \frac{1}{n!} f^{(n)}(z_0)$$

$$a_n = \frac{1}{n!} f^{(n)}(z_p)$$

- wenn f einen Pol der Ordnung p bei 🗦 😑 💪 hat:

$$f(z) = \sum_{n=-p}^{\infty} a_n (\bar{z} - \bar{z}_o)^n = \frac{a_{-p}}{(\bar{z} - \bar{z}_o)^p} + \dots + \frac{a_{-1}}{(\bar{z} - \bar{z}_o)^1} + \sum_{n=0}^{\infty} a_n (\bar{z} - \bar{z}_o)^n$$

$$\sum_{n=-p}^{n=-p} a_{n}(\overline{z}-\overline{z}_{o})^{p} + \cdots + \frac{(a-1)}{(\overline{z}-\overline{z}_{o})!} + \sum_{n=0}^{\infty} a_{n}(\overline{z}-\overline{z}_{o})^{n}$$

f(3) habe mehrere isolierte Pole,

und der Weg 1 umschließe N Pole, bei 21, 22, ..., 2

Residuensatz:

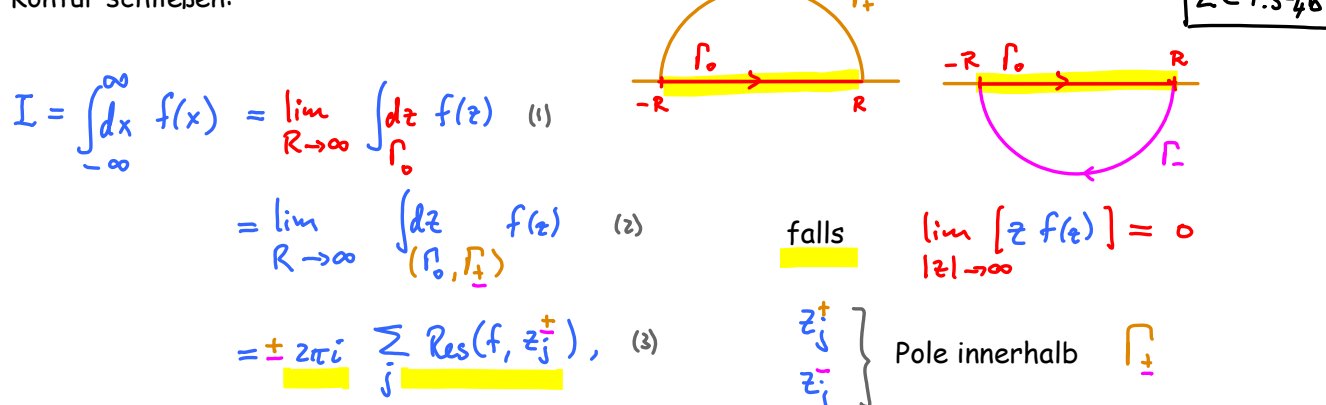
$$\oint_{\Gamma} d\tau f(z) \stackrel{(z),(3)}{=} \sum_{j=1}^{N} 2\pi i \operatorname{Res}(f_{j} z_{j})$$



Residuenformel:

$$\operatorname{Res}(f, z_{\bullet}) = a_{-1} = \lim_{z \to z_{\bullet}} \left[\frac{1}{(p-1)!} \partial_{z}^{p-1} \left[(z-z_{\bullet})^{p} f(z) \right] \right]$$

Kontur schließen:



Diese Strategie funktioniert insbesondere für Integrale folgender Form:

$$I = \int_{-\infty}^{\infty} \frac{P(x)}{Q(x)} \quad \text{mit} \quad P(x) = \sum_{j=0}^{n} P_{j} x^{j} \qquad Q(x) = \sum_{j=0}^{m} Q_{j} x^{j} \qquad \text{falls: } m \ge n + 2$$

$$T(t) = \int_{-\infty}^{\infty} \frac{e^{-i\omega t}}{\varrho(\omega)} = \begin{cases} \oint dz & e^{+iz|t|} \\ \frac{e}{\varrho(z)} \end{cases}$$
 falls $t < 0$ (5)
$$Q(\omega) = \sum_{j=2}^{\infty} i \omega j$$
 falls $t > 0$ (6)